

PROJEKTOWANA CHARAKTERYSTYKA ENERGETYCZNA
dla budynku

Budynek oceniany:

Nazwa obiektu	Sala gimnastyczna wraz z zapleczem	Zdjęcie budynku
Adres obiektu	Boruja Kościelna, dz. nr 17/2, 18, 19/4	
Całość/ część budynku	Całość	
Powierzchnia użytkowa o regulowanej temp. (A_f , m ²)	1393,46	
Powierzchnia zabudowy (A_q , m ²)	1735,51	
Kubatura budynku (V , m ³)	11 519,59	

Podstawa prawna:

- rozporządzenie Ministra Transportu, Budownictwa i Gospodarki Morskiej z dnia 25 kwietnia 2012 r. w sprawie szczegółowego zakresu i formy projektu budowlanego (Dz. U. z dnia 27 kwietnia 2012 r. poz. 462)
- rozporządzenie Ministra Transportu, Budownictwa i Gospodarki Morskiej z dnia 5 lipca 2013 r. zmieniające rozporządzenie w sprawie warunków technicznych, jakim powinny odpowiadać budynki i ich usytuowanie

1) Tabela zbiorcza przegród budowlanych użytych w projekcie

Parametry przegród nieprzezroczystych budowlanych					
I. Przegrody ściany zewnętrzne					
Lp.	Nazwa przegrody	Symbol	Wsp. U_c [W/m ² •K]	Wsp. U_c wg WT2017 [W/m ² K]	Warunek spełniony
1	Ściana zewnętrzna	SZ 1	0,15	0,23	Tak
II. Przegrody dach					
Lp.	Nazwa przegrody	Symbol	Wsp. U_c [W/m ² •K]	Wsp. U_c wg WT2017 [W/m ² K]	Warunek spełniony
1	Dach	D 1	0,11	0,18	Tak
III. Przegrody podłogi na gruncie					
Lp.	Nazwa przegrody	Symbol	Wsp. U_c [W/m ² •K]	Wsp. U_c wg WT2017 [W/m ² K]	Warunek spełniony
1	Podłoga na gruncie	PG 1	0,28	0,30	Tak
IV. Przegrody drzwi zewnętrzne					
Lp.	Nazwa przegrody	Symbol	Wsp. U_c [W/m ² •K]	Wsp. U_c wg WT2017 [W/m ² K]	Warunek spełniony
1	Drzwi zewnętrzne	DZ 1	1,30	1,50	Tak

Parametry przegród przezroczystych								
V. Okna zewnętrzne								
Lp.	Nazwa przegrody	Symbol	Wsp. U [W/m ² K]	Wsp. g	Wsp. U wg WT2017 [W/m ² •K]	Wsp. g wg WT2017	Warunek spełniony	
							U_{max}	g
1	Okno zewnętrzne	OZ 1	1,10	0,75	1,10	0,35	Tak	Nie dotyczy

2) Sprawdzenie warunku powierzchni okien

Przeznaczenie budynku	Budynki użyteczności publicznej
Pole powierzchni przegród szklanych i przezroczystych o współczynniku $U \geq 0,9$ [W/m ² •K]	$A_0 = 191,16\text{m}^2$
Suma pól powierzchni rzutu poziomego wszystkich kondygnacji nadziemnych w pasie 5 m wzdłuż ścian zewnętrznych	$A_z = 1475,23\text{m}^2$
Suma pól powierzchni pozostałej części rzutu poziomego	$A_w = 1735,51\text{m}^2$
Graniczna wartość powierzchni okien	$A_{0\max} = 0,15 \cdot A_z + 0,03 \cdot A_w = 273,35\text{m}^2$
Sprawdzenie warunku powierzchni okien $A_0 \leq A_{0\max}$	Warunek spełniony

3) Sprawdzenie warunku uniknięcia rozwoju pleśni

3.1.1 Wartości obliczeniowego czynnika temperatury $f_{Rsi,min}$ dla przegród zewnętrznych

Wartości obliczeniowego czynnika temperatury $f_{Rsi,min}$ dla przegród: SZ 1, D 1

	Miesiąc	$f_{Rsi,min}[W/m^2 \cdot K]$
1	Styczeń	0,701
2	Luty	0,729
3	Marzec	0,658
4	Kwiecień	0,495
5	Maj	0,155
6	Czerwiec	-0,848
7	Lipiec	-2,479
8	Sierpień	-2,696
9	Wrzesień	0,090
10	Październik	0,545
11	Listopad	0,668
12	Grudzień	0,706

Miesiąc krytyczny: Luty

Wartość czynnika temperatury dla krytycznego miesiąca: $f_{Rsi,max}=0,73$

3.1.2 Wartości obliczeniowego czynnika temperatury $f_{Rsi,min}$ dla przegród stykających się z gruntem

Wartości obliczeniowego czynnika temperatury $f_{Rsi,min}$ dla przegród: PG 1

	Miesiąc	$f_{Rsi,min}[W/m^2 \cdot K]$
1	Styczeń	0,844
2	Luty	0,844
3	Marzec	0,844
4	Kwiecień	0,844
5	Maj	0,844
6	Czerwiec	0,844
7	Lipiec	0,844
8	Sierpień	0,844
9	Wrzesień	0,844
10	Październik	0,844
11	Listopad	0,844
12	Grudzień	0,844

Miesiąc krytyczny: Styczeń, Luty, Marzec, Kwiecień, Maj, Czerwiec, Lipiec, Sierpień, Wrzesień, Październik, Listopad, Grudzień

Wartość czynnika temperatury dla krytycznego miesiąca: $f_{Rsi,max}=0,84$

3.2 Efektywna wartość czynnika temperatury na powierzchni wewnętrznej przegrody wyznaczona na podstawie wartości współczynnika przenikania ciepła elementu U oraz oporu przejmowania ciepła na powierzchni wewnętrznej R_{si} dla poszczególnych przegród.

	Nazwa przegrody	Symbol	$U [W/(m^2 \cdot K)]$	$f_{Rsi} [W/(m^2 \cdot K)]$	$f_{Rsi} > f_{Rsi,max} [W/(m^2 \cdot K)]$	Warunek
1	Ściana zewnętrzna	SZ 1	0,15	0,980	$0,980 > 0,729$	Spełniony
2	Dach	D 1	0,11	0,985	$0,985 > 0,729$	Spełniony
3	Podłoga na gruncie	PG 1	0,28	0,963	$0,963 > 0,844$	Spełniony

4) Tabela zbiorcza sezonowego zapotrzebowania na ciepło $Q_{H,nd}$ dla każdej strefy

Obliczenia zbiorcze dla strefy Strefa O1												
Temperatura wewnętrzna strefy									θ_i	20,0	°C	
Pole powierzchni pomieszczeń o regulowanej temperaturze									A_f	1393,5	m ²	
Obciążenia cieplne pomieszczeń zyskami wewnętrznymi									q_{int}	9,0	W/m ²	
Pojemność cieplna budynku									C_m	229920900	J/K	
Stała czasowa budynku									τ	88,4	h	
Udział granicznych potrzeb ciepła									$\gamma_{H,lim}$	1,1	-	
-									a_H	6,9	-	
Obliczenia miesięcznego zapotrzebowania na energię do ogrzewania i wentylacji $Q_{H,nd,n}$ kWh/m-c												
Miesiąc	I	II	III	IV	V	VI	VII	VIII	IX	X	XI	XII
Średnia temperatura zewnętrzna θ_e , °C	0,2	-1,8	2,7	8,3	13,0	16,8	18,3	18,4	13,5	7,0	2,2	-0,1
Liczba godzin w miesiącu t_m , h	744	672	744	720	744	720	744	744	720	744	720	744
Miesięczna strata ciepła przez przenikanie $Q_{H,th}=10^{-3} \cdot H_{tr} \cdot (\theta_i - \theta_e) \cdot t_m$ kWh/m-c	1064 4	1058 5	9300	6087	3763	1665	914	860	3381	6988	9260	1080 5
Miesięczna strata ciepła przez przenikanie z strefami ogrzewanymi $Q_{H,zy}=10^{-3} \cdot H_{zy} \cdot (\theta_i - \theta_{i,yz}) \cdot t_m$ kWh/m-c	0,00	0,00	0,00	0,00	0,00	0,00	0,00	0,00	0,00	0,00	0,00	0,00
Miesięczna strata ciepła przez przenikanie $Q_{H,ht}=Q_{H,t}+Q_{H,zy}$ kWh/m-c	1064 4	1058 5	9300	6087	3763	1665	914	860	3381	6988	9260	1080 5
Miesięczne zyski ciepła od nasłonecznienia Q_{sol} , kWh/m-c	3103	3653	6570	8603	1050 7	1110 6	1074 4	9261	7067	4527	3031	1911
Miesięczne wewnętrzne zyski ciepła $Q_{int}=q_{int} \cdot 10^{-3} \cdot A_f \cdot t_m$ kWh/m-c	9331	8428	9331	9030	9331	9030	9331	9331	9030	9331	9030	9331
Miesięczne zyski ciepła $Q_{H,gn}=Q_{sol}+Q_{int}$ kWh/m-c	1243 3	1208 1	1590 1	1763 2	1983 8	2013 6	2007 5	1859 1	1609 7	1385 7	1206 0	1124 1
$\gamma_H=Q_{H,gn}/Q_{H,ht}$	1,17	1,14	1,71	2,90	5,27	12,10	21,97	21,62	4,76	1,98	1,30	1,04
$\gamma_{H,1}$	1,10	1,15	1,43	2,30	4,08	0,00	0,00	0,00	3,37	1,64	1,17	1,10
$\gamma_{H,2}$	1,15	1,43	2,30	4,08	8,68	0,00	0,00	0,00	13,19	3,37	1,64	1,17
$f_{H,m}$	0,32	0,00	0,00	0,00	0,00	0,00	0,00	0,00	0,00	0,00	0,00	0,90
Współczynnik wykorzystania	0,80	0,81	0,58	0,35	0,19	0,08	0,05	0,05	0,21	0,50	0,73	0,86

zysków ciepła, $\eta_{H,gn}$												
Miesięczne zapotrzebowanie na energię $Q_{H,nd,n}=Q_{H,ht} - \eta_{H,gn} \cdot Q_{H,gn}$ kWh/m-c	742,6 2	813,4 6	97,13	2,61	0,03	0,00	0,00	0,00	0,06	31,06	397,3 2	1189, 65
Roczne zapotrzebowanie na energię użytkową dla ogrzewania i wentylacji $Q_{H,nd}=\Sigma(Q_{H,nd,n})$, kWh/rok											3273,9	

Część budynku					
Zestawienie stref					
Numer strefy	Nazwa strefy	A_f	V	θ_i	Zapotrzebowanie na ciepło $Q_{H,nd}$
	-	m ²	m ³	°C	kWh/rok
1	Strefa O1	1393,46	13934,60	20,0	3273,94
Całkowite zapotrzebowanie strefy $\Sigma Q_{H,nd}$ [kWh/rok]					3273,94

5) Tabela zbiorcza sezonowego zapotrzebowania na ciepłą wodę $Q_{W,nd}$

Obliczenia instalacja ciepłej wody użytkowej		
Część budynku		
Ciepło właściwe wody, c_w	4,19	kJ/(kg•K)
Gęstość wody, ρ_w	1000	kg/m ³
Temperatura ciepłej wody, θ_w	55	°C
Temperatura zimnej wody, θ_o	10	°C
Współczynnik korekcyjny, k_R	0,42	-
Powierzchnia o regulowanej temperaturze, A_f	1393,46	m ²
Jednostkowe dobowe zużycie ciepłej wody, V_w	0,25	dm ³ /(m ² •dzień)
Roczna energia użytkowa do przygotowania c.w.u., $Q_{W,nd}$	2763,75	kWh/rok

6) Tabela zbiorcza sprawności systemu ogrzewania i wentylacji

Część budynku		
Nazwa źródła	Nowe źródło ogrzewania	
Nr źródła	1	-
Udział procentowy	60	%
Rodzaj nośnika energii	Sieć elektroenergetyczna systemowa - Energia elektryczna	
Współczynnik W_H	3,00	-
Współczynnik W_{el}	3,00	-
Energia użytkowa $Q_{H,nd}$	1964,36	kWh/rok
Wybrany wariant wytwarzania	Centrala wentylacyjna NW-3 typu VVSO10s	
Sprawność wytwarzania $\eta_{H,g}$	3,00	-
Wybrany wariant regulacji	Elektryczne grzejniki bezpośrednie: konwektorowe, płaszczyznowe i promiennikowe z regulatorem proporcjonalnym P	
Sprawność regulacji $\eta_{H,e}$	0,91	-
Wybrany wariant przesyłu	Ogrzewanie powietrzne	
Sprawność przesyłu $\eta_{H,d}$	0,95	-
Wybrany wariant akumulacji	System ogrzewania bez zasobnika ciepła	
Sprawność akumulacji $\eta_{H,s}$	1,00	-
Całkowita sprawność systemu zasilania i-tego nośnika $\eta_{H,tot}$	2,59	-
Energia na urządzenia pomocnicze $E_{el,pom,H\%}$	7902,18	kWh/rok
Nazwa źródła	Nowe źródło ogrzewania	
Nr źródła	2	-
Udział procentowy	40	%
Rodzaj nośnika energii	Ciepło sieciowe z ciepłowni - Węgiel kamienny	
Współczynnik W_H	1,30	-
Współczynnik W_{el}	3,00	-
Energia użytkowa $Q_{H,nd}$	1309,57	kWh/rok
Wybrany wariant wytwarzania	Węzeł ciepłowniczy kompaktowy z obudową, o mocy nominalnej do 100kW	
Sprawność wytwarzania $\eta_{H,g}$	0,98	-
Wybrany wariant regulacji	Ogrzewanie wodne z grzejnikami członowymi lub	

	płytownymi w przypadku regulacji centralnej i miejscowej z zaworem termostatycznym o działaniu proporcjonalnym z zakresem proporcjonalności P-2K	
Sprawność regulacji $\eta_{H,e}$	0,88	-
Wybrany wariant przesyłu	C.o. wodne z lokalnego źródła ciepła usytuowanego w ogrzewanym budynku z zaizolowanymi przewodami, armaturą i urządzeniami, które są zainstalowane w przestrzeni ogrzewanej	
Sprawność przesyłu $\eta_{H,d}$	0,96	-
Wybrany wariant akumulacji	Zasobnik ciepła w systemie ogrzewania o parametrach 70/55°C w przestrzeni ogrzewanej	
Sprawność akumulacji $\eta_{H,s}$	0,93	-
Całkowita sprawność systemu zasilania i-tego nośnika $\eta_{H,tot}$	0,77	-
Energia na urządzenia pomocnicze $E_{el,pom,H\%}$	0,00	kWh/rok

7) Tabela zbiorcza sprawności systemu przygotowania ciepłej wody

Część budynku		
Nazwa źródła	Nowe źródło ciepłej wody	
Nr źródła	1	-
Udział procentowy	100,00	%
Rodzaj nośnika energii	Ciepło sieciowe z ciepłowni - Węgiel kamienny	
Współczynnik W_w	1,30	-
Współczynnik W_{el}	3,00	-
Energia użytkowa $Q_{W,nd}$	2763,75	kWh/rok
Wybrany wariant wytwarzania	Węzeł cieplny kompaktowy z obudową (ogrzewanie i ciepła woda użytkowa), o mocy nominalnej do 100 kW	
Sprawność wytwarzania $\eta_{W,q}$	0,97	-
Wybrany wariant przesyłu	Centralne podgrzewanie wody — systemy z obiegami cyrkulacyjnymi z pionami instalacyjnymi i przewodami rozprowadzającymi izolowanymi	
Rodzaj przesyłu ciepłej wody	Liczba punktów poboru ciepłej wody do 30	
Sprawność przesyłu $\eta_{W,d}$	0,85	-
Wybrany wariant akumulacji	Zasobnik ciepłej wody użytkowej wyprodukowany po 2005 r.	
Sprawność akumulacji $\eta_{W,s}$	0,85	-
Całkowita sprawność systemu zasilania i-tego nośnika $\eta_{W,tot}$	0,58	-
Energia na urządzenia pomocnicze $E_{el,pom,W\%}$	814,91	kWh/rok

8) Tabela zbiorcza sprawności systemu oświetlenia

Część budynku		
Nazwa źródła	Nowe źródło światła	
Nr źródła	1	-
Rodzaj nośnika energii	Energia elektryczna - produkcja mieszana	
Współczynnik W_L	3,00	
Współczynnik W_{el}	3,00	-
Energia użytkowa $E_{l,i\%}$	57600,00	kWh/rok
Powierzchnia użytkowa grupy pomieszczeń A_f	1393,46	m ²
Czas użytkowania oświetlenia dzień t_D	2000,00	h/rok
Czas użytkowania oświetlenia noc t_N	2000,00	h/rok
Rodzaj regulacji	Ręczny łącznik włączenie/wyłączenie	
Wpływ światła dziennego F_D	1,00	-
Rodzaj regulacji	Ręczna	
Wpływ nieobecności pracowników F_O	1,00	-
Regulacja prowadzona do utrzymania oświetlenia na wymaganym poziomie	Nie	
Współczynnik obciążenia natężenia oświetlenia F_C	1,00	-
Energia na urządzenia pomocnicze $E_{el,pom,L\%}$	-	kWh/rok

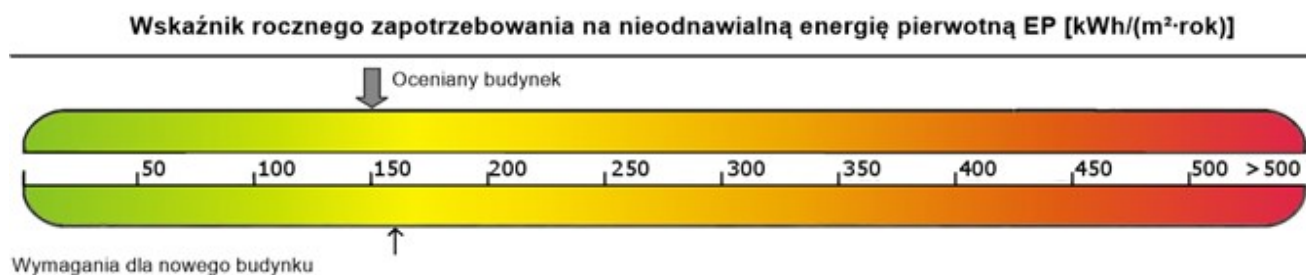
9) Tabela zbiorcza wyników energii użytkowej, końcowej i pierwotnej

Część budynku				
Ogrzewanie i wentylacja				
Nr źródła	Nazwa źródła	$Q_{U,H}$ kWh/rok	$Q_{K,H}$ kWh/rok	$Q_{P,H}$ kWh/rok
1	Nowe źródło ogrzewania	1964,36	757,42	25978,79
2	Nowe źródło ogrzewania	1309,57	1700,86	2211,11
Suma		3273,94	2458,27	28189,90
Przygotowanie ciepłej wody				
Nr źródła	Nazwa źródła	$Q_{U,W}$ kWh/rok	$Q_{K,W}$ kWh/rok	$Q_{P,W}$ kWh/rok
1	Nowe źródło ciepłej wody	2763,75	4788,62	8669,93
Suma		2763,75	4788,62	8669,93
Oświetlenie wbudowane				
Nr źródła	Nazwa źródła	$Q_{U,L}$ kWh/rok	$Q_{K,L}$ kWh/rok	$Q_{P,L}$ kWh/rok
1	Nowe źródło światła	-	57600,00	172800,00
Suma		-	57600,00	172800,00
Zestawienie energii użytkowej $EU=(Q_{U,H}+Q_{U,W}) / A_f$			4,33	kWh/(m ² •rok)
Zestawienie energii końcowej $EK=(Q_{K,H}+Q_{K,W}+Q_{K,L}+E_{el,pom}) / A_f$			52,79	kWh/(m ² •rok)
Zestawienie energii pierwotnej $Q_P=Q_{P,H}+Q_{P,W}+Q_{P,L}$			209659,83	kWh/rok
Roczny wskaźnik obliczeniowy zapotrzebowania na nieodnawialną energię pierwotną na cele ogrzewania, wentylacji i przygotowania ciepłej wody oraz chłodzenia $EP=Q_P/A_f$			150,46	kWh/(m ² •rok)

Budynek referencyjny wg WT2017			
Powierzchnia użytkowa ogrzewanego budynku	A_f	1393,46	m^2
Częstkowa maksymalna wartość wskaźnika EP na potrzeby ogrzewania, wentylacji oraz przygotowania ciepłej wody użytkowej	EP_{H+W}	60,00	$kWh/(m^2 \cdot rok)$
Częstkowa maksymalna wartość wskaźnika EP na potrzeby oświetlenia	ΔEP_L	100,00	$kWh/(m^2 \cdot rok)$
Maksymalną wartość wskaźnika EP określającego roczne obliczeniowe zapotrzebowanie budynku na nieodnawialną energię pierwotną do ogrzewania, wentylacji, chłodzenia, przygotowania ciepłej wody użytkowej oraz oświetlenia	EP_{max}	160,00	$kWh/(m^2 \cdot rok)$

Sprawdzenie warunku na EP			
EP $kWh/(m^2 \cdot rok)$		EP_{max} $kWh/(m^2 \cdot rok)$	Uwagi
150,46	<	160,00	Warunek spełniony

10) Sprawdzenie warunków granicznych wg WT2017



Nazwa	Spełniony	Niespełniony	Uwagi
Warunek izolacyjności cieplnej przegród	Tak		
Warunek powierzchni okien	Tak		
Warunek $EP < EP_{max}$	Tak		
Warunek powierzchniowej kondensacji pary wodnej	Tak		

11) Urządzenia pomocnicze

Lp.	System	Zapotrzebowanie na energię pomocniczą końcową E_{pom} [kWh/rok]	Uwagi
1	Ogrzewanie	386,10	
2	Wentylacja	7516,08	
3	Przygotowanie ciepłej wody	814,91	

**PROJEKTOWANA ANALIZA MOŻLIWOŚCI RACJONALNEGO WYKORZYSTANIA
WYSOKOEFEKTYWNYCH SYSTEMÓW ALTERNATYWNYCH ZAOPATRZENIA W ENERGIĘ I
CIEPŁO**

1. Zestawienie rocznego zapotrzebowania na energię użytkową

1.1. Zestawienie rocznego zapotrzebowania na energię użytkową dla systemu ogrzewania i wentylacji

1.1.1. System projektowany

Lp.	Rodzaj paliwa	Udział %	$Q_{H,nd}$ [kWh/rok]
1	Sieć elektroenergetyczna systemowa – centrala wentylacyjna	60,0	1964,4
2	Ciepło sieciowe z ciepłowni - Węgiel kamienny	40,0	1309,6

1.1.2. System alternatywny

Lp.	Rodzaj paliwa	Udział %	$Q_{H,nd}$ [kWh/rok]
1	Sieć elektroenergetyczna systemowa – pompa ciepła	100,0	3273,9

1.2. Zestawienie rocznego zapotrzebowania na energię użytkową dla systemu przygotowania ciepłej wody

1.2.1. System projektowany

Lp.	Rodzaj paliwa	Udział %	$Q_{W,nd}$ [kWh/rok]
1	Ciepło sieciowe z ciepłowni - Węgiel kamienny	100,0	2763,8

1.2.2. System alternatywny

Lp.	Rodzaj paliwa	Udział %	$Q_{W,nd}$ [kWh/rok]
1	Miejscowe wytwarzanie energii w budynku - Energia słoneczna	100,0	2763,8

2. Charakterystyka źródeł energii systemu ogrzewania i wentylacji

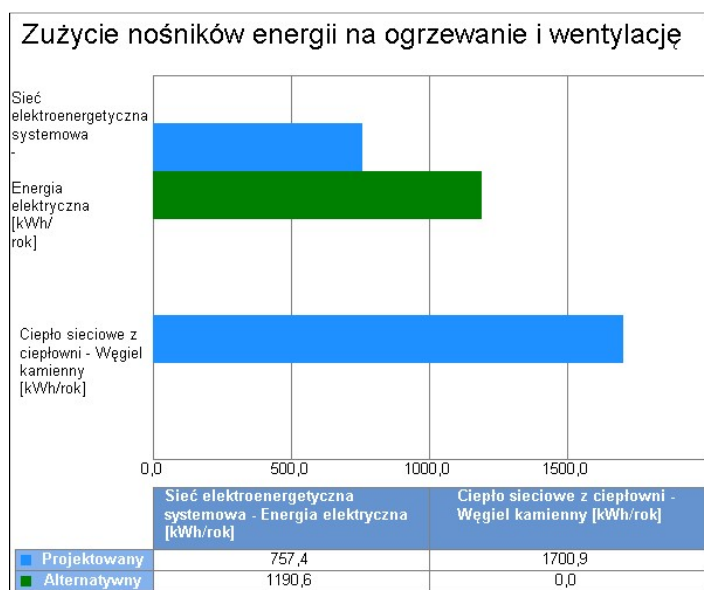
2.1. Budynek projektowany

Rodzaj paliwa	Udział %	$\eta_{H,tot}$	H_u	Jedn.	$Q_{K,H}$ [kWh/rok]	Zużycie paliwa B	Jedn.
Sieć elektroenergetyczna systemowa – Centrala wentylacyjna	60,0	2,59	1,00	kWh/kWh	757,4	757,4	kWh/rok
Ciepło sieciowe z ciepłowni - Węgiel kamienny	40,0	0,77	1,00	kWh/kWh	1700,9	1700,9	kWh/rok

2.2. Budynek z alternatywnymi źródłami

Rodzaj paliwa	Udział %	$\eta_{H,tot}$	H_u	Jedn.	$Q_{K,H}$ [kWh/rok]	Zużycie paliwa B	Jedn.
Sieć elektroenergetyczna systemowa – pompa ciepła	100,0	2,75	1,00	kWh/kWh	1190,6	1190,6	kWh/rok

2.3. Porównanie zużycia nośników energii dla budynku projektowanego i źródła alternatywnego



Wykres porównawczy zużycia nośników energii dla systemu ogrzewania i wentylacji

3. Charakterystyka źródeł energii systemu przygotowania ciepłej wody

3.1. Budynek projektowany

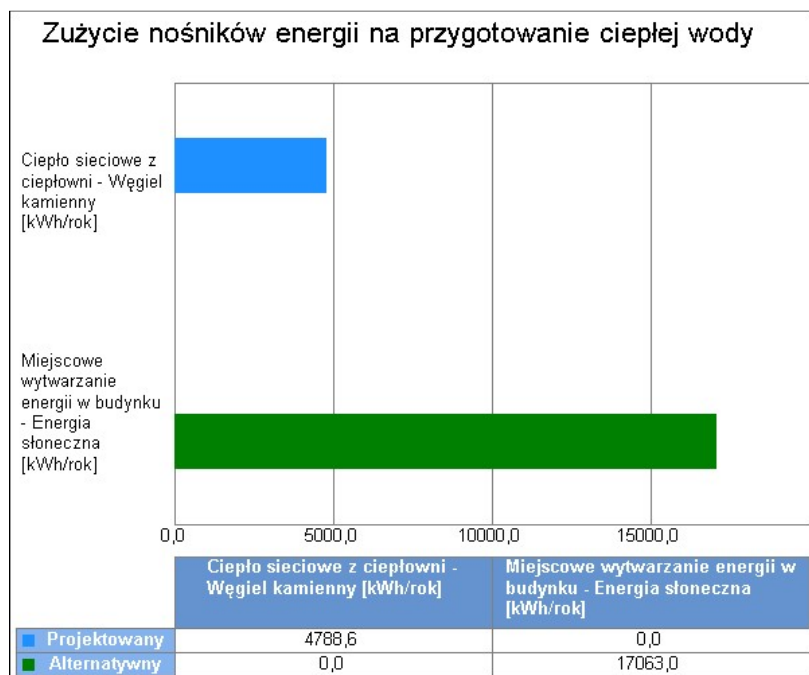
Rodzaj paliwa	Udział %	$\eta_{W,tot}$	H_u	Jedn.	$Q_{K,W}$ [kWh/rok]	Zużycie paliwa B	Jedn.
Ciepło sieciowe z ciepłowni -	100,0	0,58	1,00	kWh/k	4788,6	4788,6	kWh/rok

Węgiel kamienny				Wh			k
-----------------	--	--	--	----	--	--	---

3.2. Budynek z alternatywnymi źródłami

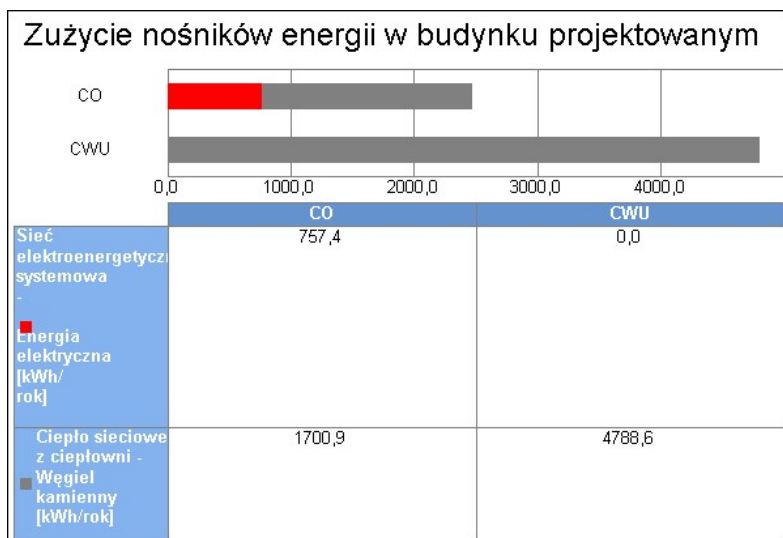
Rodzaj paliwa	Udział %	$\eta_{w,tot}$	H_u	Jedn.	$Q_{K,W}$ [kWh/rok]	Zużycie paliwa B	Jedn.
Miejsowe wytwarzanie energii w budynku - Energia słoneczna	100,0	0,58	1,00	MJ/kg	4739,8	17063,0	kWh/rok

3.3. Porównanie zużycia nośników energii dla budynku projektowanego i źródła alternatywnego

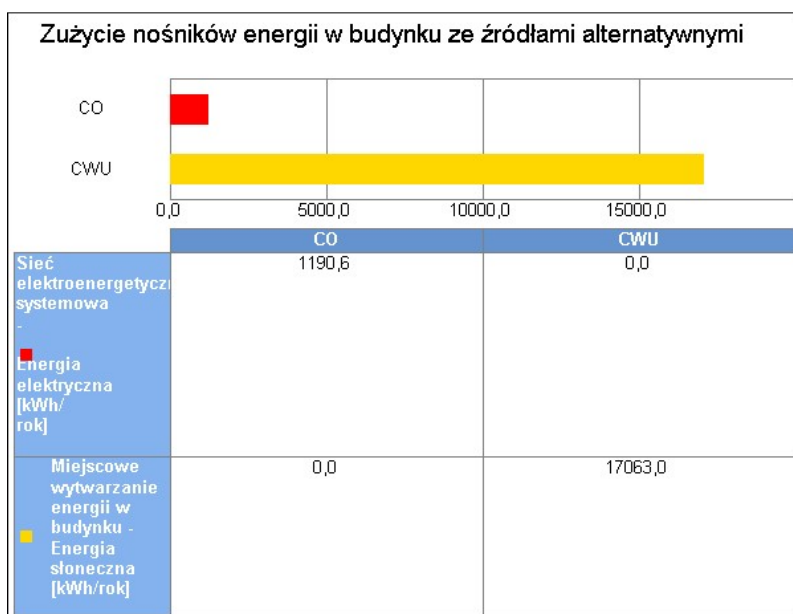


Wykres porównawczy zużycia nośników energii dla systemu przygotowania ciepłej wody

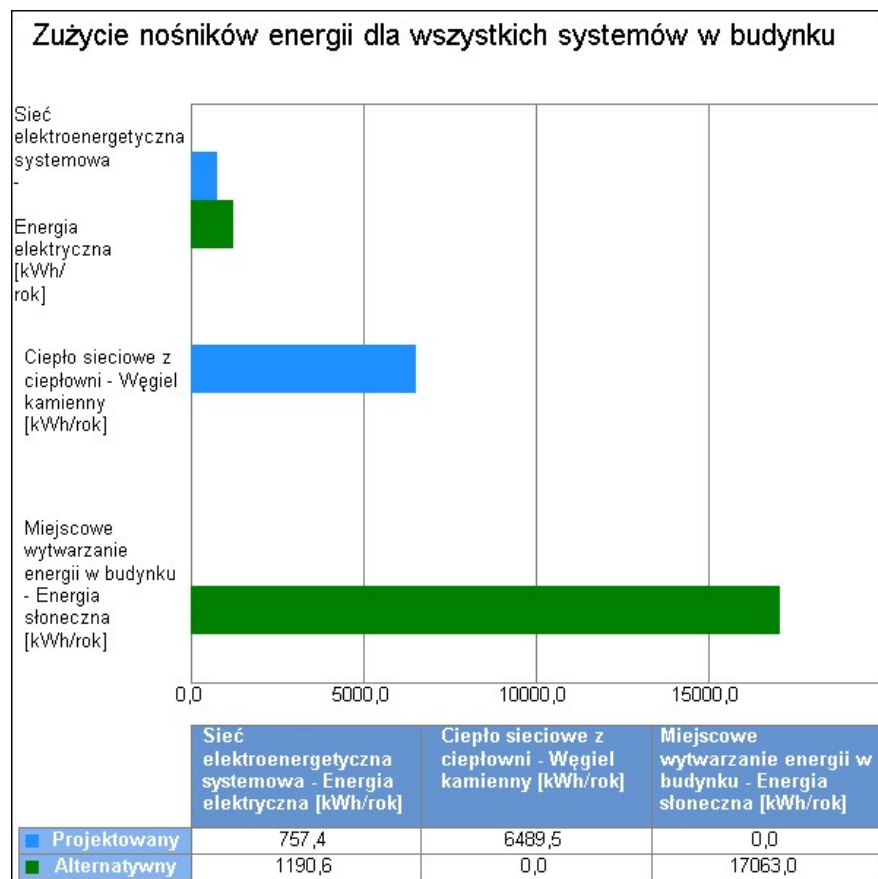
4. Wykresy porównawcze zużycia nośników energii



Wykres zużycia nośników energii dla wszystkich systemów w budynku projektowanym



Wykres zużycia nośników energii dla wszystkich systemów w budynku ze źródłami alternatywnymi



Wykres porównawczy zużycia nośników energii dla wszystkich systemów w budynku

Informacje uzupełniające:...

5.1. Budynek projektowany

System ogrzewania i wentylacji								
Rodzaj paliwa	Jedn.	SO ₂	NO _x	CO	CO ₂	PYŁ	SADZA	B-a-P
Sieć elektroenergetyczna systemowa - Energia elektryczna	kg/kWh	0,009100	0,002300	0,000690	0,812000	0,001500	0,000003	0,000000
Ciepło sieciowe z ciepłowni - Węgiel kamienny	kg/GJ	0,000000	0,000000	0,000000	98,30000 0	0,000000	0,000000	0,000000
System przygotowania ciepłej wody								
Rodzaj paliwa	Jedn.	SO ₂	NO _x	CO	CO ₂	PYŁ	SADZA	B-a-P
Ciepło sieciowe z ciepłowni - Węgiel kamienny	kg/GJ	0,000000	0,000000	0,000000	98,30000 0	0,000000	0,000000	0,000000

5.2. Budynek z alternatywnymi źródłami

[illegible]

6. Emisja zanieczyszczeń poszczególnych systemów w budynku

6.1. Budynek projektowany

System	Jedn.	SO ₂	NO _x	CO	CO ₂	PYŁ	SADZA	B-a-P
System ogrzewania i wentylacji	kg/rok	6,8925	1,7421	0,5226	1216,916 7	1,1361	0,0020	0,0000
System przygotowania ciepłej wody	kg/rok	0,0000	0,0000	0,0000	1694,585 0	0,0000	0,0000	0,0000
Całkowita emisja w budynku	Jedn.	SO ₂	NO _x	CO	CO ₂	PYŁ	SADZA	B-a-P
	kg/rok	6,8925	1,7421	0,5226	2911,501 7	1,1361	0,0020	0,0000

6.2. Budynek z alternatywnymi źródłami

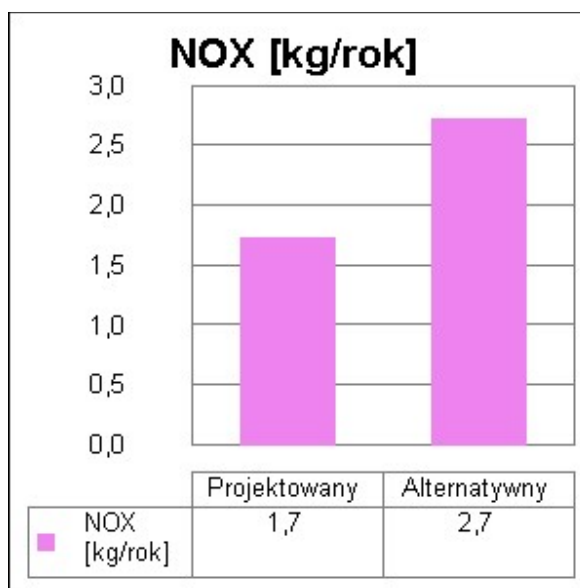
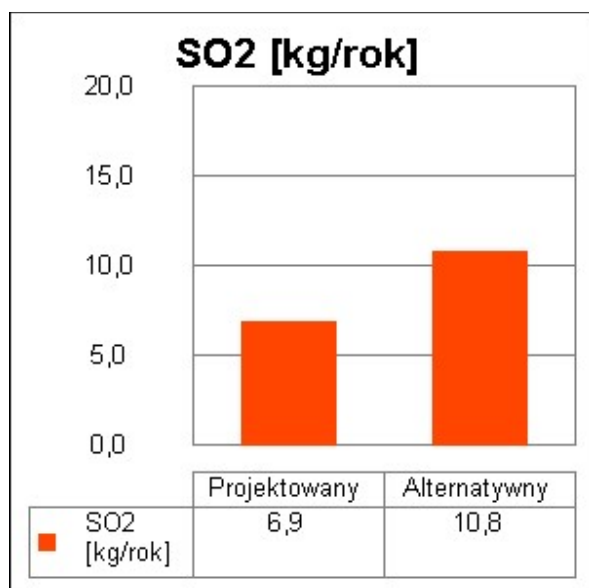
System	Jedn.	SO ₂	NO _x	CO	CO ₂	PYŁ	SADZA	B-a-P
System ogrzewania i wentylacji	kg/rok	10,8344	2,7384	0,8215	966,7661	1,7859	0,0032	0,0001
System przygotowania ciepłej wody	kg/rok	0,0000	0,0000	0,0000	0,0000	0,0000	0,0000	0,0000
Całkowita emisja w budynku	Jedn.	SO ₂	NO _x	CO	CO ₂	PYŁ	SADZA	B-a-P
	kg/rok	10,8344	2,7384	0,8215	966,7661	1,7859	0,0032	0,0001

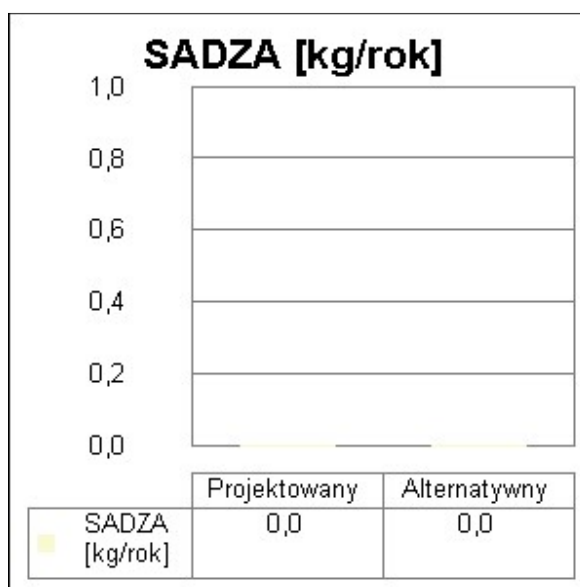
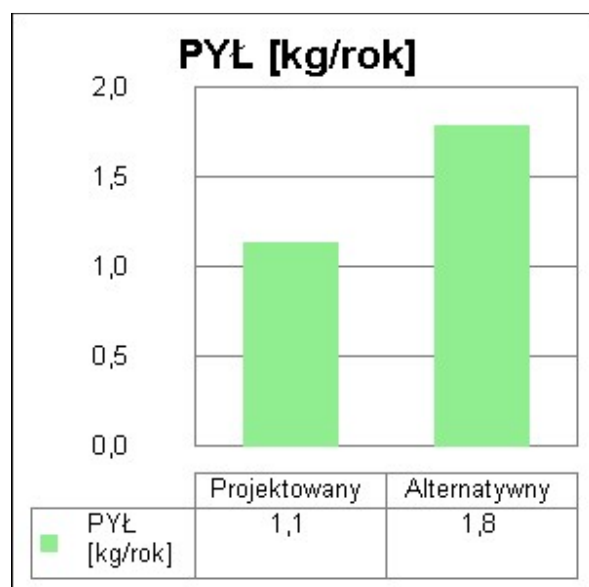
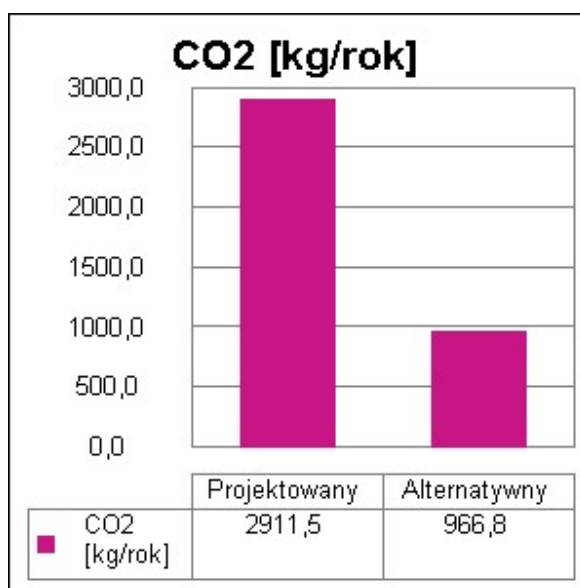
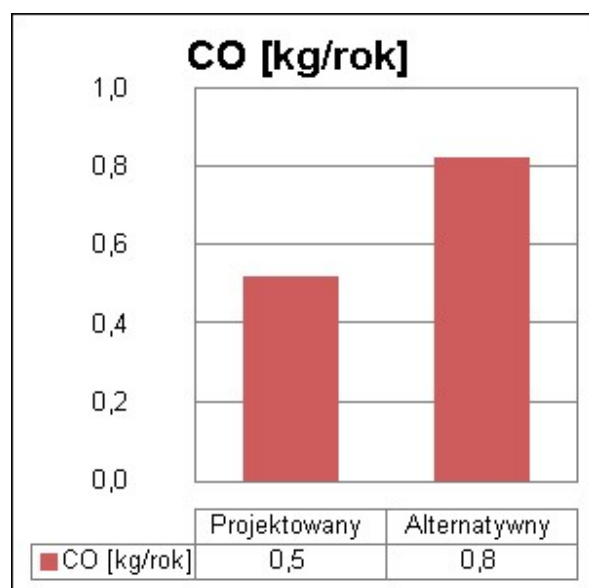
7. Bezpośredni efekt ekologiczny

7.1. Tabela bezpośredniego efektu ekologicznego

Emitowane zanieczyszczenie	Budynek projektowany [kg/rok]	Budynek z alternatywnymi źródłami [kg/rok]	Efekt ekologiczny[kg/rok]	Redukcja emisji [%]
SO ₂	6,892498	10,834447	-3,941949	-57,19
NO _x	1,742060	2,738377	-0,996317	-57,19
CO	0,522618	0,821513	-0,298895	-57,19
CO ₂	2911,501703	966,766060	1944,735643	66,79
PYŁ	1,136126	1,785898	-0,649772	-57,19
SADZA	0,002045	0,003215	-0,001170	-57,19
B-a-P	0,000041	0,000064	-0,000023	-57,19

7.2. Wykresy bezpośredniego efektu ekologicznego





B-a-P kg/rok

1,0

0,8

0,6

0,4

0,2

0,0



Projektowany

Alternatywny

■ B-a-P
kg/rok

0,0

0,0

8. Wyniki analizy porównawczej i wybór systemu zaopatrzenia w energię

8.1. Obliczenia współczynników toksyczności

Wartości współczynnika toksyczności zanieczyszczeń obliczono w oparciu o Rozporządzenie Ministerstwa Środowiska z dnia 26.01.2010 r. w sprawie wartości odniesienia dla niektórych substancji w powietrzu (Dz.U. nr 87/2010 poz. 16).

$$K_{SO_2} = e_{SO_2}/e_t = 20/20 \text{ mg/m}^3 = 1,00$$

$$K_{NO_x} = e_{SO_2}/e_t = 20/40 \text{ mg/m}^3 = 0,50$$

$$K_{CO} = e_{SO_2}/e_t = \text{brak wymagań}$$

$$K_{CO_2} = e_{SO_2}/e_t = \text{brak wymagań}$$

$$K_{PYŁ} = e_{SO_2}/e_t = 20/40 \text{ mg/m}^3 = 0,50$$

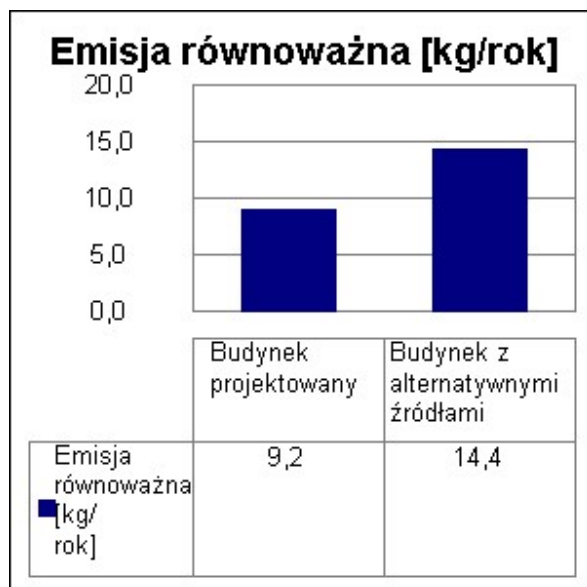
$$K_{SADZA} = e_{SO_2}/e_t = 20/8 \text{ mg/m}^3 = 2,50$$

$$K_{B-a-P} = e_{SO_2}/e_t = 20/0,001 \text{ mg/m}^3 = 20000,00$$

8.2. Tabela emisji równoważnej

Emitowane zanieczyszczenie	Współczynnik toksyczności K	Emisja - Budynek projektowany [kg/rok]	Emisja - Budynek z alternatywnymi źródłami [kg/rok]	Emisja równoważna - Budynek projektowany [kg/rok]	Emisja równoważna - Budynek z alternatywnymi źródłami [kg/rok]
SO ₂	1,00	6,892498	10,834447	6,892498	10,834447
NO _x	0,50	1,742060	2,738377	0,871030	1,369188
PYŁ	0,50	1,136126	1,785898	0,568063	0,892949
SADZA	2,50	0,002045	0,003215	0,005113	0,008037
B-a-P	20000,00	0,000041	0,000064	0,818011	1,285846
Łączna emisja równoważna				9,154714	14,390468

8.3. Wykres emisji równoważnej



8.4. Wybór systemu

Na podstawie powyższej analizy środowiskowej wariantem optymalnym jest wariant projektowany. Efekt środowiskowy wyrażony w emisji równoważnej jest o 57,2% (5,24 kg/rok) korzystniejszym niż wariant alternatywny.